

ČESKÉ VYSOKÉ UČENÍ TECHNICKÉ  
V PRAZE  
Fakulta jaderná a fyzikálně inženýrská



**Elektronové dělo a detekce  
elektronového svazku**

Ekaterina Eremenko, Anežka Kabátová, Jakub Kubát,  
Tomáš Novák, Monika Robotková, Jaroslav Štorek,  
Tomáš Truhlář, Matěj Vaculčík

27. července 2019

# **Členové kolaborace**

**Koordinátor projektu**  
Tomáš Truhlář

**Mluvčí projektu**  
Anežka Kabátová

\*\*\*

**Konstrukce elektronového děla**  
Monika Robotková  
Jaroslav Štorek  
Tomáš Novák  
Tomáš Truhlář

**Fokusace elektronového svazku**  
Ekaterina Eremenko  
Jakub Kubát

**Měření elektronového svazku**  
Anežka Kabátová  
Matěj Vaculčiak

# Obsah

|  |           |
|--|-----------|
| <b>Úvod</b>  | <b>9</b>  |
| <b>1 Elektrické výboje</b>                             | <b>11</b> |
| 1.1 Teorie elektrického výboje . . . . .               | 11        |
| 1.1.1 Samostatné výboje . . . . .                      | 11        |
| 1.2 Přivedení vodičů k elektrodám . . . . .            | 13        |
| 1.3 Pozorování a diskuse . . . . .                     | 14        |
| 1.4 Závěr . . . . .                                    | 15        |
| <b>2 Zdroj elektronů, ES40-PS</b>                      | <b>17</b> |
| <b>3 Fokusace - teorie</b>                             | <b>21</b> |
| 3.0.1 Koncept einzel lens . . . . .                    | 22        |
| 3.0.2 Vlastní elektronové dělo . . . . .               | 23        |
| 3.0.3 Urychlování svazku z průmyslového děla . . . . . | 25        |
| 3.0.4 Zkouška děla se stínítkem . . . . .              | 26        |
| 3.0.5 Závěr . . . . .                                  | 26        |



# Seznam obrázků

|     |  |    |
|-----|--|----|
| 1   | Kralík a Pan Myšák před začátkem projektu.                                     | 9  |
| 1.1 | Zápalné napětí různých plynů.  | 12 |
| 1.2 | Paschenova křivka pro vzduch   | 12 |
| 1.3 | Ekvipotenciální plochy v doutnavém výboji při 100 Pa                           | 13 |
| 1.4 | Paschenova křivka pro určité hodnoty konstant                                  | 13 |
| 1.5 | Pozorovaný doutnavý výboj  | 15 |
| 1.6 | Pozorovaný jiskrový výboj  | 15 |
| 2.1 | Schéma zapojení a ukázka ovládacího panelu stanice ES40-PS                     | 17 |
| 2.2 | Ukázka nastavení parametrů zdroje elektronů                                    | 18 |
| 3.1 | Soustava třech elektrod s různým napětí.                                       | 21 |
| 3.2 | Schematické znázornění siločár elektrického pole v soustavě einzelových čoček. | 22 |
| 3.3 | Caption.   | 23 |
| 3.4 | Caption.   | 23 |
| 3.5 | Caption.   | 24 |
| 3.6 | Caption.   | 25 |
| 3.7 | Caption.   | 25 |
| 3.8 | Caption.   | 26 |



# **Seznam tabulek**



# Úvod

Za úkol na předmětu Projektové Praktikum bylo zadáno navrhnout a následně se strojit aparaturu pro urychlování svazku elektronů, což zahrnuje návrh a realizaci zapojení elektronového děla, zdroje vysokého napětí, doplňující soustavu fokusující svazek a v neposlední řadě samotný detektor intenzity elektronového svazku [?, ?].



Obrázek 1: Kralík a Pan Myšák před začátkem projektu.



# Kapitola 1

## Elektrické výboje

Při přípravě elektronového svazku jsme se snažili, aby byl dostatečně energetický pro dosažení prahu detekce použitého detektoru. Proto jsme cílili na dosažení elektronového svazku o energii zhruba 80 keV. Urychlení jsme prováděli pomocí rozdílu elektrického potenciálu na měděných elektrodách použitím zdrojů kladných pólů napětí.

K dosažení zamýšlené energie elektronového svazku jsme použili zdroj vysokého napětí (HV) s rozsahem až do 100 kV a dva zdroje o maximálním rozsahu 5 kV. Experiment jsme prováděli ve vakuové komoře. U průchodky do vakuové komory jsme však nebyli schopni elektrody od sebe izolovat z důvodu špatné přístupnosti, takže jak z vnitřní, tak z vnější strany byla vzdálenost mezi elektrodami menší než jeden centimetr. V tomto místě hrozilo, že dojde k elektrickému výboji.

### 1.1 Teorie elektrického výboje

Základním dělením elektrických výbojů je dělení na samostatné a nesamostatné [?]. Nesamostatné výboje jsou vázány na vnější (tzv. ionizační) čnidlo, bez kterého nemohou probíhat. Ionizačním čnidlem mohou být například elektrony vystupující ze žhavené katody nebo ozařování výbojového prostoru rentgenovými paprsky. Pokud se výboj může udržet, i když ionizační čnidlo nepůsobí, nazýváme ho samostatným. Takovými výboji jsou výboje temné, doutnavé, obloukové, jiskrové, vysokofrekvenční a koróny. Dále rozebereme doutnavé a jiskrové výboje [?].

#### 1.1.1 Samostatné výboje

Teorie samostatného výboje vznikla z rozšíření teorie nesamostatného výboje. Teorie nesamostatných výbojů je založena na myšlence Townsendových lavin, kdy žhavená katoda produkuje stálý počet elektronů za jednotku času, které dále ionizují částice plynu mezi elektrodami a produkují se laviny. U samostatného výboje již uvažujeme dostatečně vysoké napětí mezi elektrodami, že ionizační čnidlo není zapotřebí a výboj probíhá pomocí vysokého počtu ionizací nárazem.

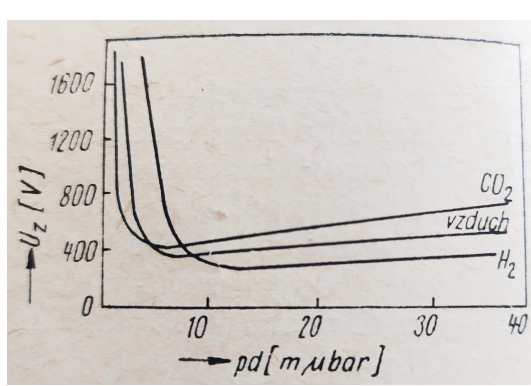
Minimální napětí na elektrodách, které je potřeba ke vzniku výboje  $U_z$ , tj. zápalné napětí samostatného výboje, lze podle Townsenda vypočítat jako [?]

$$U_z = A \frac{pd}{\ln \left[ B \frac{pd}{\ln \left( 1 + \frac{1}{\eta_+} \right)} \right]} , \quad (1.1)$$

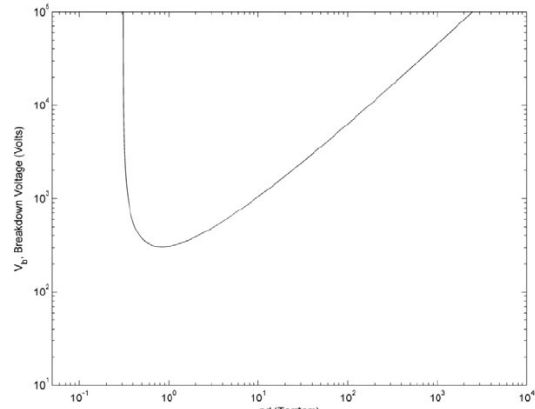
kde  $A = BU_i$  a  $U_i$  je ionizační napětí,  $B = \frac{1}{p\lambda_e}$  je počet srážek na jednotku dráhy elektronu při jednotkovém tlaku prostředí, kde  $\lambda_e$  je střední volná dráha elektronu,  $p$  je tlak,  $d$  je vzdálenost elektrod a  $\eta_+$  charakterizuje vlastnosti materiálu katody, které ovlivňují pravděpodobnost emise elektronů z katody kladnými ionty (koeficient sekundární emise elektronů). Rovnice (1.1) je nazývána Paschenovým zákonem. Bylo zjištěno, že konstanty  $A$  a  $B$  se nemění v oblasti  $E/p = 450 - 7500 \frac{\text{V}}{\text{kPa}\cdot\text{cm}}$  ( $E$  je elektrická intenzita) a jsou rovny  $A = 2737,5 \frac{\text{V}}{\text{kPa}\cdot\text{cm}}$  a  $B = 112,5 \frac{\text{V}}{\text{kPa}\cdot\text{cm}}$  [?].

Průběh zápalného napětí různých plynů je znázorněn na Obr. 1.1, specálně pro vzduch na Obr. 1.2. Zápalné napětí  $U_z$  nabývá minima v [?]

$$(pd)_{min} = \frac{2,781}{B} \ln \left( 1 + \frac{1}{\eta_+} \right) . \quad (1.2)$$



Obrázek 1.1: Zápalné napětí různých plynů [?]. (1  $\mu\text{bar} = 0,1 \text{ Pa}$ )



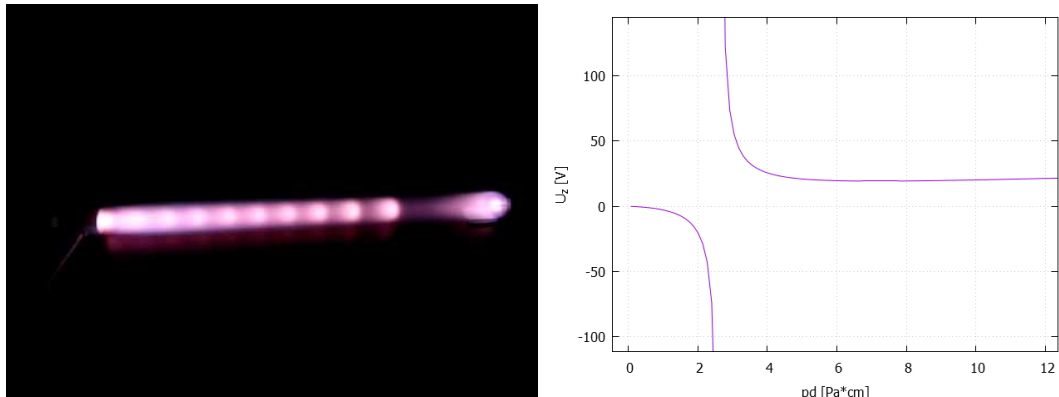
Obrázek 1.2: Paschenova křivka pro vzduch z roku 2011 [?]. (Torr·cm = 133 Pa·cm)

## Doutnavý výboj

Přechod od nesamostatného výboje k samostatnému je doprovázeno vznikem proudu a světélkováním plynu. Pro doutnavý výboj jsou charakterizující světélkující oblasti především u anody, kde dochází k nejvíce srážkám elektronů s molekulami plynu [?]. V závislosti na rozložení prostorových nábojů se průběh potenciálu mezi katodou a anodou deformauje a světélkující oblasti se nacházejí i dále od anody. Rozložení prostorových nábojů se mění i s tlakem [?]. Na Obr. 1.3 je znázorněn doutnavý výboj ve vzduchu při tlaku 100 Pa.

## Jiskrový výboj

Jiskrový výboj je nestabilní a nestacionární forma samostatného výboje, která nevyžaduje působení ionizačního činidla [?]. Má vzhled jasně svítících větvících se kanálů o vysoké teplotě a v plynu je doprovázen akustickými jevy. Přestože se při jiskrových výbojích uplatňuje jiný princip vzniku než při výboji lavinovém, tzv. kanálový mechanismus, platí pro ně Paschenův zákon (1.1) [?]. Jelikož se součinitel  $\eta_+$  vyskytuje v Paschenově zákoně ve tvaru  $\ln \ln \eta_+$ , materiál katody nemá vliv na velikost  $U_z$  [?]. Zápalné napětí je nazýváno napětím průrazu a u vzduchu činí toto průrazné napětí při normální teplotě a tlaku  $3 \text{ MV/m} = 30 \text{ kV/cm}$  [?].



Obrázek 1.3: Ekvipotenciální plochy v doutnavém výboji při  $100 \text{ Pa}$  [?].

Obrázek 1.4: Funkce  $f(x)$  je vykreslená Paschenova křivka (1.1) pro hodnoty  $A = 2737,5 \frac{\text{V}}{\text{kPa}\cdot\text{cm}}$ ,  $B = 112,5 \frac{\text{V}}{\text{kPa}\cdot\text{cm}}$  a  $\eta_+ = 3$ .

## 1.2 Přivedení vodičů k elektrodám

K elektrodám, které sloužily jak pro urychlení, tak i k fokusaci elektronového svazku, jsme přiváděli jeden vodič s napětím vyšším než  $20 \text{ kV}$  a dva s napětím do  $5 \text{ kV}$ . Nejprve jsme se pokoušeli použít jedinou průchodku, u které byly všechny sousední vodiče vzdáleny méně než jeden centimetr. Podle teorie by k výboji na vzduchu mělo docházet při zhruba  $20 \text{ kV}/0,7 \text{ cm}$ , což nebylo pro naše účely nedostatečné a vysoké napětí jsme přiváděli samostatnou průchodkou.

Samostatná průchodka však nebyla uzpůsobena k vedení vysokého napětí a opět byl vodič vzdálen zhruba  $1 \text{ cm}$  od uzemněné vakuové komory. I přes naši snahu nechráněné části průchodky co nejvíce izolovat vulkanickou páskou jsme při překročení napětí  $30 \text{ kV}$  na vzduchu výboje pozorovali. Vysokonapěťovou keramicky izolovanou průchodku jsme bohužel k dispozici neměli.

Uvnitř komory byly jednotlivé elektrody vzdáleny od sebe navzájem a od uzemněné komory také přibližně jeden centimetr. Abychom mohli použít výpočet pomocí Paschenova zákona (1.1), je potřeba, aby podíl elektrické intenzity  $E$  a tlaku  $p$  byl v rozmezí  $E/p = 450 - 7500 \frac{\text{V}}{\text{kPa}\cdot\text{cm}}$ . Námi cílený tlak byl ideálně co nejmenší, abych

se náš elektronový svazek nerozptyloval na molekulách vzduchu, tedy  $10^{-2} - 10^{-4}$  Pa. Pro napětí  $U$  v řádu kilovoltů však ze vztahu  $E = U/d$  dostáváme pro  $d = 1$  cm  $E/p \sim 10^9 \frac{V}{kPa \cdot cm}$ . I kdybychom se rozhodli toto omezení nerrespektovat, zjistíme, že z Paschenova zákona dostaneme pro námi zamýšlené hodnoty  $p = 10^{-3}$  Pa a  $d = 1$  cm nesmyslný výsledek  $U_z < 0$ <sup>1</sup>, jelikož má závislost (1.1) průběh hyperboly (Obr. 1.4). Proto jsme neexistenci výboje v komoře odhadovali pouze na základě úvahy, že při dosaženém nízkém tlaku nebude pro výboj k dispozici dostatečný počet ionizovatelných molekul.

### 1.3 Pozorování a diskuse

Při prvních zkouškách jsme dosahovali tlaku zhruba 100 Pa a při použitém napětí 3 kV jsme pozorovali fialový doutnavý výboj (Obr. 1.5). Naše pozorování se shoduje s očekáváním z Obr. 1.3. Současně jsme však nepozorovali žádný signál elektronů na stínítku. Použité wolframové vlákno pravděpodobně nebylo vhodným zdrojem elektronů.

Další pokusy jsme prováděli při tlaku přibližně  $10^{-2}$  Pa<sup>2</sup>. Při nich jsme již nepozorovali doutnavý výboj, ale při dosažení napětí 20 kV na urychlovací elektrodě jsme v komoře pozorovali výboje doprovázené zelenými záblesky. Pravděpodobně se jednalo o elektrony vzniklé při výboji, které dopadly na instalované fluorescenční stínítko, jelikož jsme stejně zelené světlo pozorovali na stínítku při dopadu elektronů z funkčního elektronového děla. Tyto výboje se v závislosti na použitém napětí pravidelně opakovaly a se zvyšujícím se napětím se časové intervaly mezi nimi zkracovaly. Do komory jsme viděli malým průzorem a záblesk vždy osvítil celou komoru, takže jsme ani nebyli schopni určit, kde k výbojům dochází. Výboje jsme pozorovali i v případě, kdy jsme zapojili pouze jednu elektrodu s nejvyšším urychlovacím napětím, domníváme se proto, že docházelo k výboji do komory v místě, kde byla vzdálenost elektrody od komory nejkratší. Při jednom výboji jsme dokonce pozorovali jasný jiskrový výboj (Obr. 1.6), ovšem na jiném místě.

Při použití napětí vyššího než 30 kV jsme pozorovali výboje již u průchodky vysokého napětí z vnějšku komory na vzduchu. Výbojům jsme se snažili zabránit zvýšenou izolací vodičů vulkanickou páskou a plastovou ohebnou trubkou. Neúspěšně. Pro měření s detektorem dodaným od druhé skupiny jsme proto volili pouze urychlovací napětí do 18 kV, aby detektor výboje nepoškodily, což zkomplikovalo měření, protože jsme nedosáhli cílené energie elektronů 80 keV.

Navzdory našemu očekávání docházelo k výbojům ve vyčerpané vakuové komoře při nižším napětí než na vzduchu. Pro tento jev nemáme uspokojivé vysvětlení. Navíc při tlacích menších než 1,3 Pa by nemělo docházet k žádným elektrickým výbojům při jakémkoli napětí [?]. Výboje by snad odstranilo použití keramické vysokonapěťové průchodky.

---

<sup>1</sup>Použili jsme  $A = 2737,5 \frac{V}{kPa \cdot cm}$ ,  $B = 112,5 \frac{V}{kPa \cdot cm}$  a  $\eta_+ = 3$  [?]. Volba jiného  $\eta_+$  v rozmezí  $\eta_+ = 2 - 100$  výsledek nemění.

<sup>2</sup>Jelikož se nám ke konci semestru porouchal tlakoměr, dosažený tlak řádu  $10^{-2}$  Pa jsme odhadovali na základě alespoň třídenního čerpání vakuové komory turbomolekulární vývěrou.



Obrázek 1.5: Pozorovaný fialový doutnavý výboj při tlaku zhruba 100 Pa.



Obrázek 1.6: Pozorovaný jiskrový výboj při tlaku zhruba  $10^{-2}$  Pa.

## 1.4 Závěr

K urychlení elektronů jsme se na elektrody do vakuové komory snažili přivést napětí řádu 5 kV a vysoké napětí řádu 80 kV. K vedení vysokého napětí jsme použili samostatnou průchodu, která však stejně jako původně použitá nevyhovovala podmínkám vedení vysokého napětí a při napětí vyšším než 18 kV uvnitř komory a napětí vyšším než 30 kV z vnějšku komory probíjela. Tyto hodnoty jsme proto nepřekračovali. Průchodka pro vedení napětí řádu 5 kV byla dostatečná a výboje jsme nepozorovali.

Navrhovaným řešením výbojů je použití keramické průchodky uzpůsobené k vedení vysokého napětí



# Kapitola 2

## Zdroj elektronů, ES40-PS

Z důvodů problémů s nedostatkem elektronů z wolframového vlákna žárovky jsme se rozhodli k použití ES40-PS jako zdroje elektronů. ES40-PS je *Electron Source Power Supply* poskytující svazek elektronů s nastavitelnou energií, hustotou, pozicí a profilem svazku. Dále umožňuje skenování oblasti s nastavitelnou rychlosí skenování.

Schéma zapojení zdroje elektronů ES40-PS je znázorněno na Obr. 2.1 vlevo. Zdroj elektronů je upevněn pomocí průchodka do vakuové komory a připojen ke stanici ES40-PS pomocí kabelu s 6-pinovou spojkou. Na Obr. 2.1 vpravo je zobrazena ukázka ovládacího panelu stanice ES40-PS.



Obrázek 2.1: Vlevo: Schéma zapojení zdroje elektronů ES40-PS. Vpravo: Ukázka předního ovládacího panelu stanice ES40-PS. Převzato z [?].

Zdroje elektronů ES40-PS má několik nastavitelných parametrů:

- **Urychlovací napětí** je nastavitelné od 0 kV do 5 kV
- **Emisní proud** elektronů je nastavitelný v rozmezí od 0,01  $\mu$ A do 300,00  $\mu$ A
- **Fokusovací napětí** je spojené s urychlovacím a lze nastavit od 60,0 % do 99,9 %
- **Wehneltovo napětí** od 0 V do 300 V

Elektrony vychází ze zahřívání wolframové katody, z tohoto důvodu se může objevit zpráva "Current Limit", kdy je zapotřebí více času ke stabilizaci emisního proudu.

Zmíněné hodnoty je možné nastavit na úvodní obrazovce ovládacího panelu viz

Obr. 2.2. Po kliknutí na zmenšený seznam hodnot nacházející se v levé části se display přepne do druhé polohy, kde je možné nastavit následující hodnoty:

- **Horizontální výchylka** PX je nastaviteľná v rozmezí od  $-5,00$  mm do  $5,00$  mm
- **Vertikální výchylka** PY je nastaviteľná v rozmezí od  $-5,00$  mm do  $5,00$  mm
- **Horizontální rozsah skenu** dX je nastaviteľný v rozmezí od  $0,00$  mm do  $10,00$  mm
- **Vertikální rozsah skenu** dY je nastaviteľný v rozmezí od  $0,00$  mm do  $10,00$  mm
- **TPD hodnota** (*time per dot*) je nastaviteľný v rozmezí od  $20 \mu\text{s}$  do  $30 \text{ ms}$

Při současném nastavení výchylky a skenu se může objevit zpráva "SCAN X/Y OVERFLOW", která značí překročení fyzikálního rozsahu zdroje elektronů ES40-PS a pro její odstranění je nutné snížit výchylku svazku nebo rozsah skenování.



Obrázek 2.2: Ukázka nastavení parametrů zdroje elektronů a přepnutí do druhého menu. Převzato z [?]

Spuštění zdroje elektronů ES40-PS krok za krokem:

1. Po zapnutí napájení by měl být zdroj ponechán v režimu *STAND-BY* alespoň 10 minut pro řádné zahřátí a stabilizaci katody
2. Pokud zdroj nebyl použit delší dobu následuje *DEGAS* procedura
3. Následuje zapnutí do *OPERATE* módu, ale pouze v případě je-li tlak v komoře nižší než  $5 \times 10^{-6}$  mbar
4. Doporučené začínající hodnoty jsou: Energie =  $3 \text{ kV}$ , Emise =  $100 \mu\text{A}$ , Fokusace =  $70 \%$ , Wehneltovo napětí =  $85 \text{ V}$ , PX = PY = dX = dY =  $0 \text{ mm}$

#### **DEGAS** procedura

1. Před zapnutím do *OPERATE* módu je nutné nastavit všechny napětí a proudy na minimum.
2. Po zapnutí do *OPERATE* módu je nutné nastavit následující parametry v daném pořadí: Energie =  $2,00 \text{ kV}$ , Fokusace =  $88,0 \%$  a Wehneltovo napětí =  $71,0 \text{ V}$
3. Zvýšení Emise na  $300,00 \mu\text{A}$

4. S tímto nastavením by mělo zařízení pracovat 10 minut
5. Následně by měla být emise snížena na minimum a poté i zbývající napětí

Během *DEGAS* procedury by měli být parametry zvyšovány postupně se současnou kontrolou tlaku v komoře. Pokud dojde k náhlému poklesu vakua v komoře, mělo by být zařízení ponecháno se stávajícími parametry dokud nedojde k obnovení vakua.

Více podrobností k ovládání zdroje elektronů ES40-PS je popsáno v operačním manuálu [?].

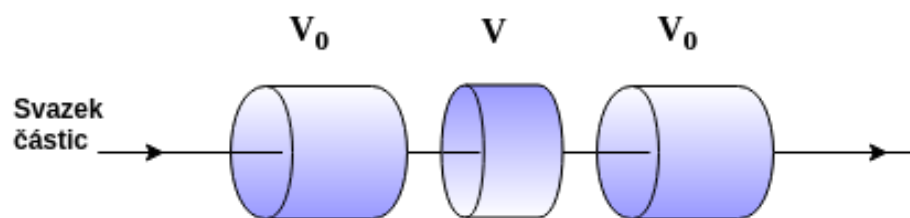


# Kapitola 3

## Fokusace - teorie

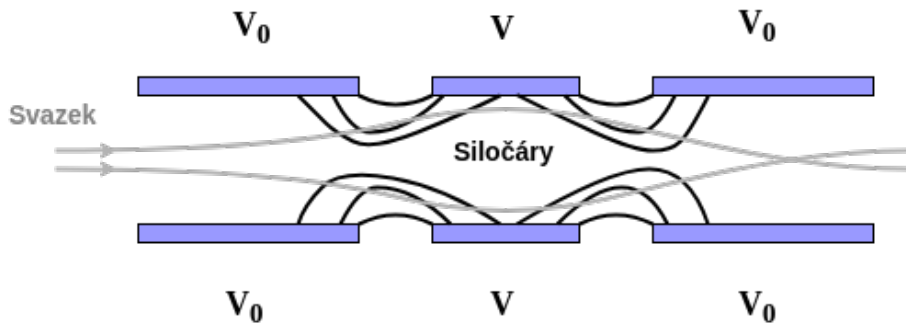
Fokusace a urychlování svazku byli realizovány pomocí elektronové optiky, soustavy elektrostatických čoček - několika cylindrických elektrod na které se přivádí různé napětí.

Princip funkce elektrostatických čoček se dá ukázat na příkladě tzv. einzelových čoček - neurychlující fokusující soustavy třech cylindrických elektrod, ve které boční elektrody jsou pouze uzemněné a na elektrodu uprostřed je převedeno napětí (Obr. 3.1).



Obrázek 3.1: Soustava třech elektrod s různým napětím.

Na Obr. 3.2 jsou schematicky znázorněny siločáry elektrického pole vznikajícího v soustavě elektrod a chování svazku v tomto poli. Na prostřední elektrodu se v případě svazku elektronů dodává záporné napětí a vytváří se rozdíl potenciálů s každou s uzemněných okrajových elektrod. Po průchodu polem v rozmezí první a druhé elektrody svazek je zpomalen a rozptýlen v radiálním směru, dále po průletu druhou elektrodou svazek začíná být urychlován a stlačen radiálně, což vede k fokusaci do jednoho bodu, po proletění kterého svazek znova defokusuje. Jelikož svazek je nejdřív zpomalen a potom urychljen, výsledná kinetická energie svazku po průchodu soustavou zůstává nezměněná.



Obrázek 3.2: Schematické znázornění siločár elektrického pole v soustavě einzelových čoček.

Geometrie elektrod může být rozlišná a ovlivňuje fokusační vlastnosti soustavy, dalším důležitým parametrem působícím na chování svazku je napětí na elektrodách, v případě, že k dispozici je pouze soustava elektrod s určitou geometrií, polohu ohniska se dá zcela určit pomocí změny napětí na elektrodách. Při správném nastavení parametrů elektrostatické čočky nejenom fokusují svazek, ale také můžou ho urychlit, což jsme využili pro urychlování elektronového svazku v našem experimentu.

Volbu geometrii a napětí na elektrodách jsme určili pomocí simulace soustavy v programu SIMION.

# Kapitola 4

## Simulace fokusační soustavy

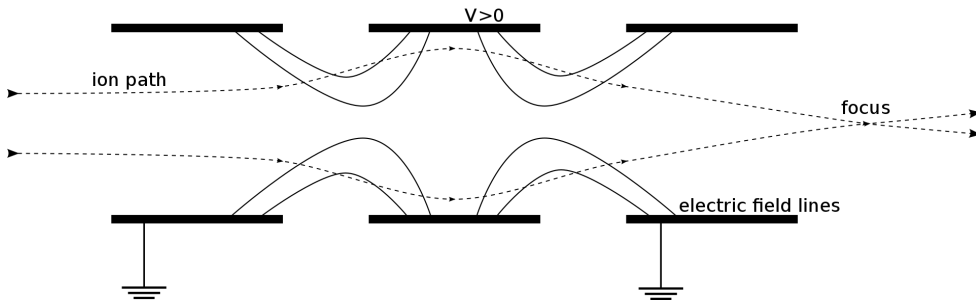
úvod

### 4.1 Koncept einzel lens

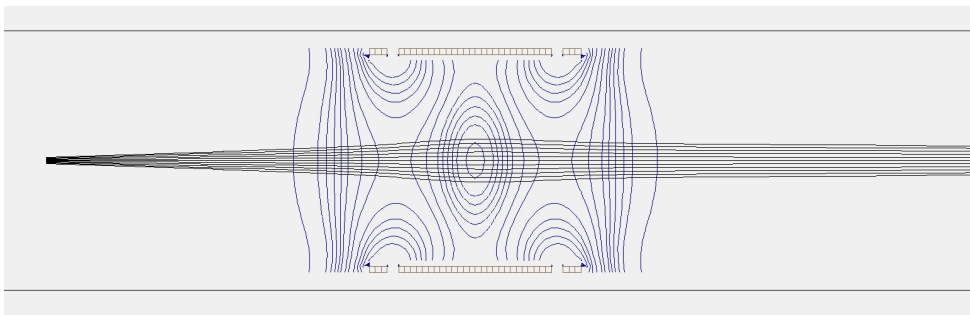
Označení einzel lens se používá pro soustavu typicky tří cylindrických elektrostatických elektrod v řadě za sebou. Soustava slouží k fokusování iontového svazku ve vakuu pomocí specifického elektrického pole, které se běžně vytváří přivedením stejného napětí na krají dvě elektrody a odlišného napětí na prostřední elektrodu. Regulace napětí na prostřední elektrodě je pak dostačující ke kontrolování fokusačních vlastností aparatury, které ovšem celkově závisí i na geometrii elektrod a energii kontrolovaného svazku. Polarity použitého napětí se odvíjí od náboje fokusovaných iontů. V principu je totiž třeba vytvořit takový potenciálový rozdíl mezi elektrodami, aby mezi první a druhou elektrodou ionty překonávaly potenciálový kopec a mezi druhou a třetí elektrodou se vracely k nižšímu potenciálu. Potom vzhledem k zakřivení elektrického pole, které je dané geometrií elektrod, se trajektorie iontů nejprve odchylí od směru svazku a zpomalý a následně jsou strženy zpět k ose svazku, aby se protly v jednom bodě, je-li poměr mezi napětími krajní a prostřední elektrody vhodně nastavený. To je možné díky tomu, že čím dále je konkrétní iont od osy svazku, tím více na něj působí zakřivení válcově symetrického pole. Energie svazku na výstupu by pak měla být nezměněna právě díky stejným hodnotám napětí na krajních elektrodách.

Na Obr. 3.3 lze vidět schématický nákres čočky, který ilustruje výše popsaný způsob fokusace. Ten jen demonstrovaný též Obr. 3.4, na kterém je výsledek simulace z programu SIMION, který znázorňuje potenciálové hladiny mezi elektrodami v rovině xy. Simulovaná konfigurace z obrázku má následující parametry: válcové elektrody mají průměr  $d = 35$  mm, krajní elektrody jsou dlouhé  $l_o = 2$  mm, prostřední měří,  $l_i = 26$  mm, tloušťka stěny válce je  $t = 1$  mm, napětí na elektrodách jsou  $U_o = 5$  kV,  $U_i = -18$  kV, energie svazku u zdroje je  $E = 20$  keV. Svazek je nastaven tak, aby od zdroje divergoval. Tuto divergenci fokusační soustava zastavuje a směruje trajektorie do vzdáleného ohniska. Na Obr. 3.5 je pak výše potenciálové hladiny

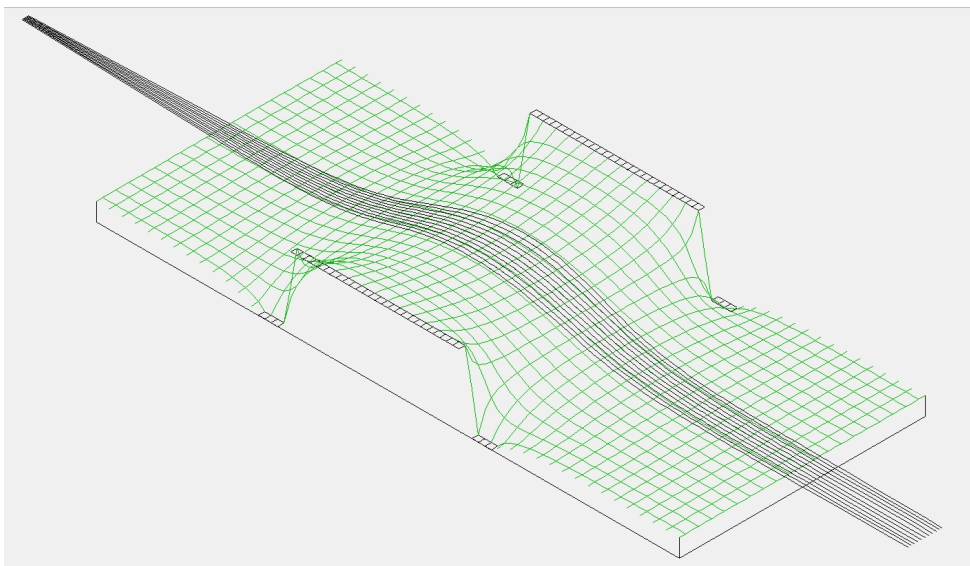
reprezentována třetí souřadnicí, což může pomoci k vytvoření intuitivní představy o průběhu fokusace.



Obrázek 4.1: Caption.



Obrázek 4.2: Caption.



Obrázek 4.3: Caption.

Podobnou konfiguraci bylo původně v plánu použít k regulaci elektronového svazku z děla CRT obrazovky. Vzhledem k tomu, že se toto dělo nepodařilo zprovoznit, přešli jsme k novému konceptu, který zahrnoval konstrukci vlastního elektronového děla. Jako zdroj elektronů mělo sloužit wolframové vlákno a dělo mělo elektrony

zároveň urychlovat a fokusovat pomocí soustavy čtyř elektrod, jejíž konfigurace se již odchylovala od typického uspořádání einzel lens, vycházela ovšem z podobných principů.

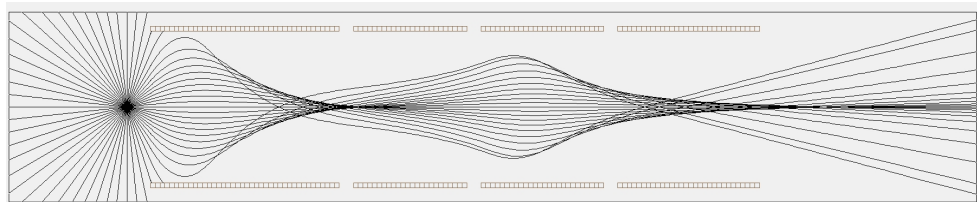
## 4.2 Vlastní elektronové dělo

Urychlování a fokusování elektronového děla měly zajišťovat čtyři válcové elektrody. Navrhovaná konfigurace byla podmíněna zejména dvěma požadavky:

- k dispozici byly dva zdroje s napětím 5 kV (jeden lze rozdělit pro dvě elektrody) a jeden zdroj vysokého napětí 80 kV
- jako elektrody měly sloužit válečky nařezané z měděné trubky o průměru 3 cm různých délek

Nastavení napětí na elektrodách bylo motivováno myšlenkou, že elektrony, o nichž jsme předpokládali, že budou vylétávat z wolframového vlákna izotropně ve všech směrech s energiemi v řádech eV, je nejprve třeba urychlit v požadovaném směru a následně fokusovat a zároveň stanovit jejich finální energii, která měla původně dosahovat hodnot 80 keV. Proto napětí mezi první a druhou elektrodou vytvářela potenciálovou jámu, která měla elektrony strhávat správným směrem. Poslední tři elektrody pak měly společně tvořit soustavu podobnou einzel lens s tím rozdílem, že napětí na poslední elektrodě bude to nejvyšší a elektrony budou tak v poslední fázi fokusování zároveň urychleny na co nejvyšší energii. Na Obr. DOPLN je výsledek simulace navrhované konfigurace s těmito parametry:

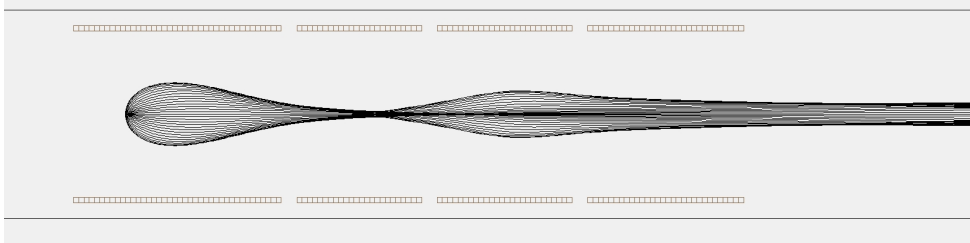
- Vzdálenost mezi elektrodami:  $\Delta x = 2$  mm
- Geometrie elektrod:  $d = 30$  mm,  $l_0 = 40$  mm,  $l_1 = 24$  mm,  $l_2 = 26$  mm,  $l_3 = 30$  mm
- Napětí na elektrodách:  $U_1 = 1$  kV,  $U_2 = 10$  kV,  $U_3 = 1$  kV,  $U_4 = 60$  kV
- Zdroj elektronů: bod umístěný 5 mm před první elektrodou, elektrony vylétávajícími do všech směrů s  $E = 20$  eV



Obrázek 4.4: Caption.

Konfiguraci lze ještě vylepšit jednoduše tím, že se wolframové vlákno umístí dovnitř první elektrody, jak ukazuje simulace na Obr. DOPLN., kde je zdroj elektronů umístěný 1 cm od levého kraje první elektrody. Nastavení simulace je jinak stejné jako u té předchozí, napětí na poslední elektrodě je ovšem  $U_4 = 18$  kV, což se více blíží

napětí, kterého jsme byli schopni dosáhnout bez probíjení. I tak se dalo očekávat, že alespoň na stínítku bychom mohli pozorovat stopu svazku. Nicméně ani s jednou konfigurací jsme ve vakuové komoře nakonec neuspěli. Další postup proto zahrnoval použítí zakoupeného průmyslového děla.



Obrázek 4.5: Caption.

### 4.3 Urychlování svazku z průmyslového děla

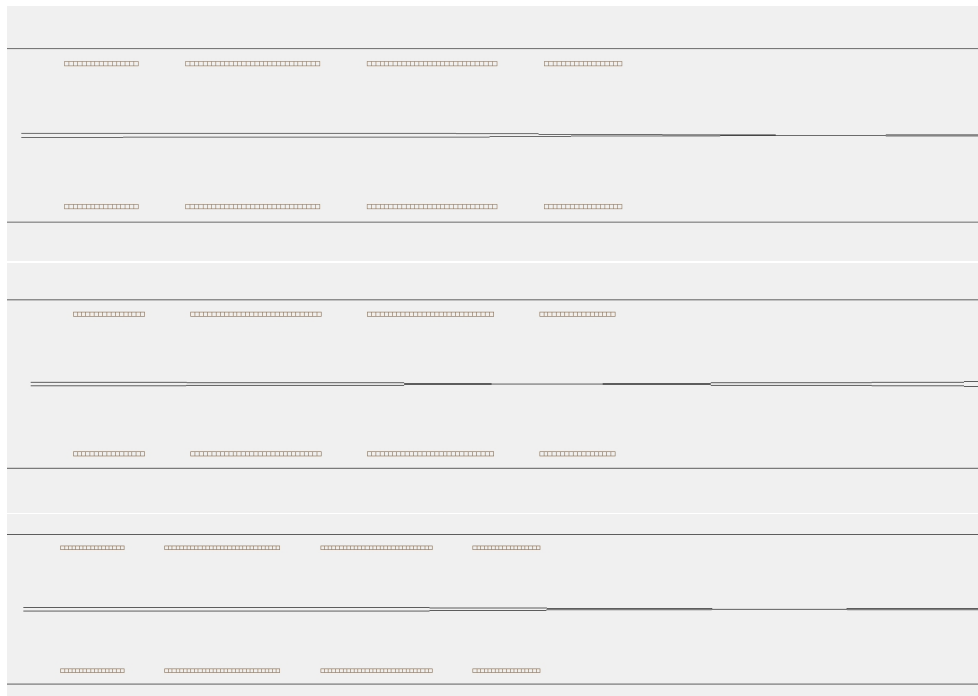
Zakoupené elektronové dělo bylo od výroby dostatečně dobře fokusované. Nejmenší možný průměr svazku uvedený výrobcem byl  $d = 120 \mu\text{m}$  ve vzdálenosti  $l = 56 \text{ mm}$ . Proto fokusační soustava ztrácela svůj význam. Přesto však bylo třeba pro účely detekce svazek urychlit. Maximální energie svazku byla totiž  $E = 5 \text{ keV}$ . Nakonec i možnost posouvat ohnisko svazku a tak jej fokusovat nebo defokusovat nezávisle na nastavení na průmylsovém děle se jevila jako zajímavá. Proto se finální fokusovací soustava skládala opět ze čtyř elektrod.

Elektrody byly tentokrát umístěny ve větší vzdálenosti od sebe, abychom omezili pravděpodobnost probíjení mezi nimi, ačkoliv jsme zcela s jistotou nevěděli, zdali k němu docházelo. Svazek z děla je v následujících simulacích reprezentován rovnoběžnými trajektoriemi dvou elektronů, které jej hypoteticky ohraničují. Průměr svazku je  $d = 1 \text{ mm}$  a energie  $E = 5 \text{ keV}$ . Ostatní parametry finální konfigurace jsou následující:

- Vzdálenost mezi elektrodami:  $\Delta x = 2 \text{ mm}$
- Geometrie elektrod:  $d = 30 \text{ mm}$ ,  $l_0 = 40 \text{ mm}$ ,  $l_1 = 24 \text{ mm}$ ,  $l_2 = 26 \text{ mm}$ ,  $l_3 = 30 \text{ mm}$
- Napětí na elektrodách:
  1.  $U_1 = 1 \text{ kV}$ ,  $U_2 = 5 \text{ kV}$ ,  $U_3 = 1 \text{ kV}$ ,  $U_4 = 18 \text{ kV}$
  2.  $U_1 = 1 \text{ kV}$ ,  $U_2 = 15 \text{ kV}$ ,  $U_3 = 1 \text{ kV}$ ,  $U_4 = 18 \text{ kV}$
  3.  $U_1 = 1 \text{ kV}$ ,  $U_2 = 1 \text{ kV}$ ,  $U_3 = 1 \text{ kV}$ ,  $U_4 = 18 \text{ kV}$

Ačkoliv to není z Obr. 3.8 vzhledem k nepoměru mezi průměry svazku a elektrod zcela patrné, simulace ukazuje, že nastavováním napětí na druhé elektrodě lze teoreticky posouvat ohnisko, tudíž bychom na stínítku pozorovat zvětšování, popř.

zmenšování profilu svazku. Pro napětí  $U_2 = 5$  kV se ohnisko nachází přibližně ve vzdálenosti  $x = 178$  mm od levého kraje první elektrody. Pro napětí  $U_2 = 15$  kV je to  $x = 112$  mm a pro  $U_2 = 1$  kV je  $x = 204$  mm. Takový posun by se měl na stínítku v pevné vzdálenosti od zdroje projevit změnou průměru profilu řádově až v milimetrech, což by měl být pozorovatelný jev.



Obrázek 4.6: Caption.

#### 4.4 Zkouška děla se stínítkem

#### 4.5 Závěr